

<https://doi.org/10.30895/2221-996X-2024-24-2-215-228-suppl>

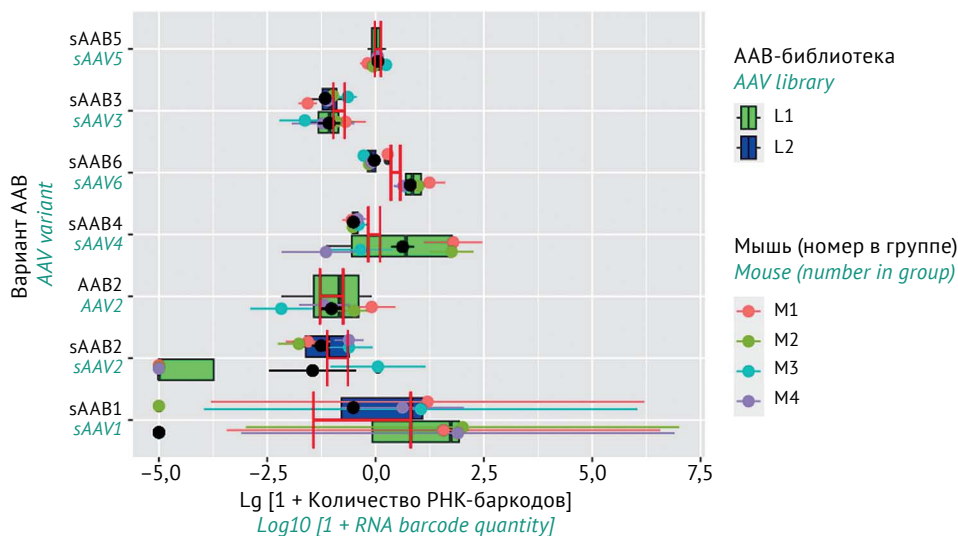


Рисунок подготовлен авторами по собственным данным / The figure is prepared by the authors using their own data

Рис. 9. Эффективность трансдукции аденоассоциированным вирусом (ААВ) по количеству детектированных РНК-баркодов различных серотипов ААВ в печени (после коррекции на биораспределение). Вертикальные красные линии отражают стандартную ошибку среднего для каждого из серотипов. В легенде указаны ААВ-библиотеки и порядковый номер мыши в группе (для каждой экспериментальной группы $n=4$). Серотипы вирусов по оси Y упорядочены, как на рис. 5, 7.

Fig. 9. Efficiency of transduction by adeno-associated virus (AAV) based on the quantity of detected RNA barcodes of various AAV serotypes in the liver (after correction for biodistribution). Vertical red lines represent the standard error of the mean for each serotype. The legend indicates the AAV library and the sequential number of the mouse in the group (for each experimental group, $n=4$). Virus serotypes are ordered along the Y-axis as in Fig. 5 and Fig. 7.

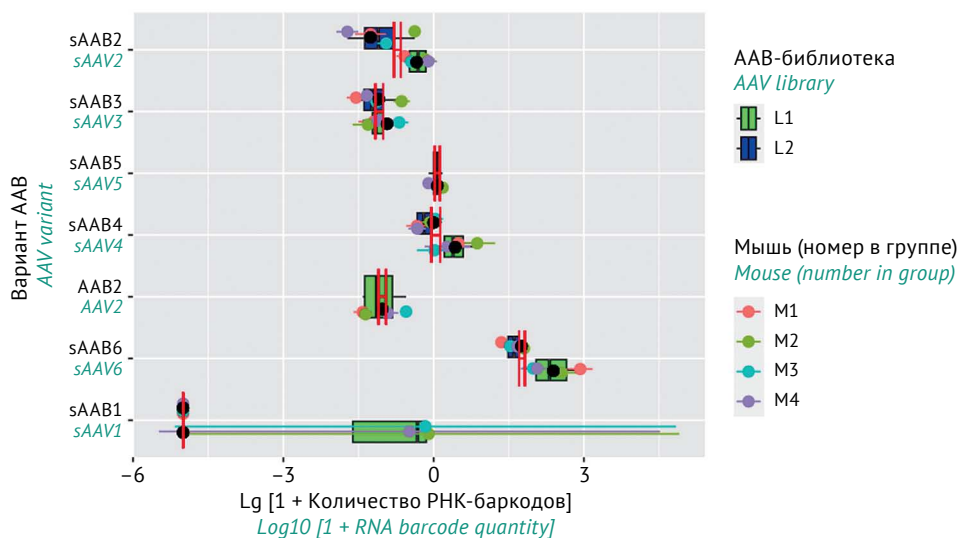


Рисунок подготовлен авторами по собственным данным / The figure is prepared by the authors using their own data

Рис. 10. Эффективность трансдукции аденоассоциированным вирусом (ААВ) по количеству детектированных РНК-баркодов различных серотипов ААВ в надпочечниках (после коррекции на биораспределение). Вертикальные красные линии отражают стандартную ошибку среднего для каждого из серотипов. В легенде указаны ААВ-библиотеки и порядковый номер мыши в группе (для каждой экспериментальной группы $n=4$). Серотипы вирусов по оси Y упорядочены, как на рис. 6, 8.

Fig. 10. Efficiency of transduction by adeno-associated virus (AAV) based on the quantity of RNA barcodes of various AAV serotypes detected in the adrenal glands (after correction for biodistribution). Vertical red lines represent the standard error of the mean for each serotype. The legend indicates the AAV library and the sequential number of the mouse in the group (for each experimental group, $n=4$). Virus serotypes are ordered along the Y-axis as in Fig. 6 and Fig. 8.

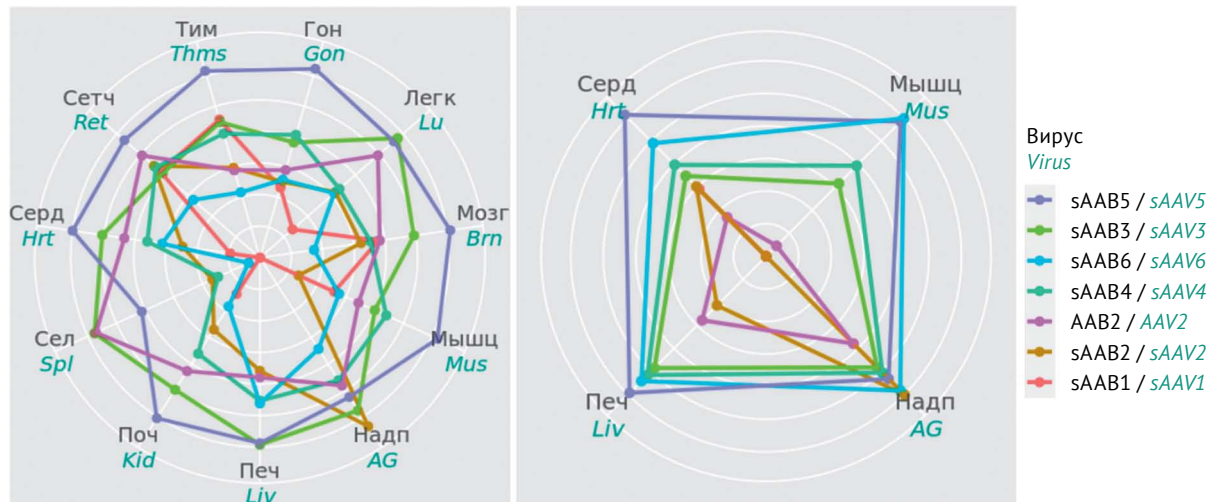


Рисунок подготовлен авторами по собственным данным / The figure is prepared by the authors using their own data

Рис. 11. Оценка биораспределения (А) и тропизма (В) *in vivo* при внутривенном введении аденоассоциированных вирусных (ААВ) векторов на примере ААВ-библиотеки L1. Круговые диаграммы построены по значениям логарифмов нормализованных показателей относительного количества: А – ДНК-баркодов, В – РНК-баркодов. На диаграммах указаны органы/ткани: Гон – гонады, Легк – легкие, Мозг – головной мозг, Мышц – скелетная мускулатура, Надп – надпочечники, Печ – печень, Поч – почка, Сел – селезенка, Серд – сердце, Сетч – сетчатка глаза, Тим – тимус.

Fig. 11. Results of analysis of biodistribution (A) and tropism (B) *in vivo* upon intravenous injection of adeno-associated virus (AAV) vectors (AAV Library L1). Circular diagrams plot the values of the \log_{10} -normalised relative quantity of DNA barcodes (A) and RNA barcodes (B). The diagrams indicate organs/tissues: Gon, gonads; Lu, lungs; Brn, brain; Mus, skeletal muscles; AG, adrenal glands; Liv, liver; Kid, kidney; Spl, spleen; Hrt, heart; Ret, retina; Thms, thymus.

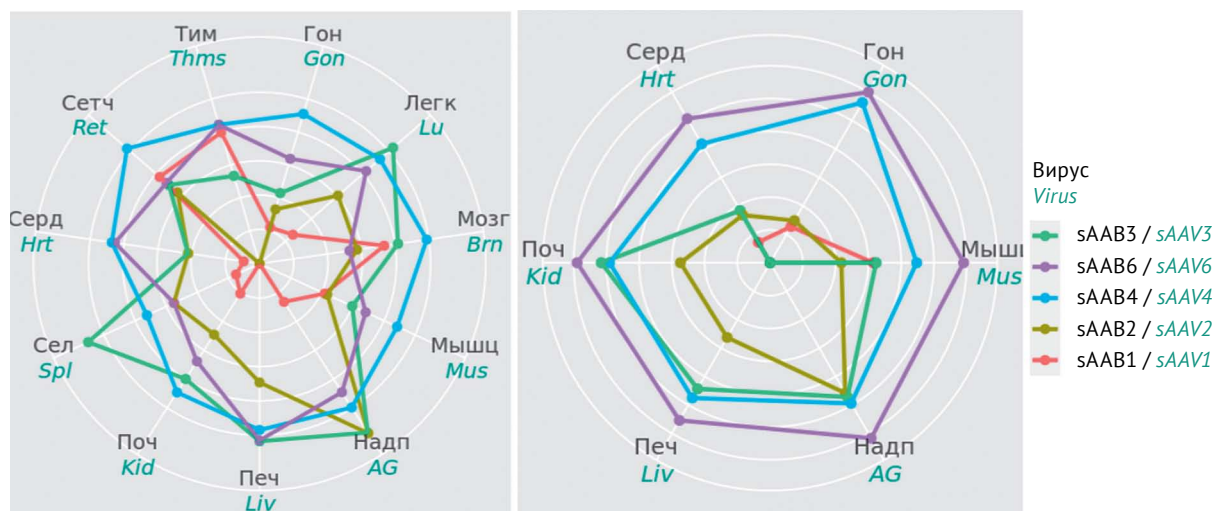


Рисунок подготовлен авторами по собственным данным / The figure is prepared by the authors using their own data

Рис. 12. Оценка биораспределения (А) и тропизма (В) *in vivo* при внутривенном введении аденоассоциированных вирусных (ААВ) векторов на примере ААВ-библиотеки L2. Круговые диаграммы построены по значениям логарифмов нормализованных показателей относительного количества: А – ДНК-баркодов, В – РНК-баркодов. На диаграммах указаны органы/ткани: Гон – гонады, Легк – легкие, Мозг – головной мозг, Мышц – скелетная мускулатура, Надп – надпочечники, Печ – печень, Поч – почка, Сел – селезенка, Серд – сердце, Сетч – сетчатка глаза, Тим – тимус.

Fig. 12. Results of analysis of biodistribution (A) and tropism (B) *in vivo* upon intravenous injection of adeno-associated virus (AAV) vectors (AAV Library L2). Circular diagrams plot the values of the \log_{10} -normalised relative quantity of DNA barcodes (A) and RNA barcodes (B). The diagrams indicate organs/tissues: Gon, gonads; Lu, lungs; Brn, brain; Mus, skeletal muscles; AG, adrenal glands; Liv, liver; Kid, kidney; Spl, spleen; Hrt, heart; Ret, retina; Thms, thymus.